

# 國防科技學術合作協調小組研究計畫成果報告

## 微波及射頻電路模組研製

計畫編號：NSC 90-2623-7-009-008

執行期間：2001 年 01 月 01 日至 2001 年 12 月 31 日

需求單位計畫主持人：中科院系製中心一製組 陳志強技士

執行單位計畫主持人：國立交通大學電信系 莊晴光 教授

處理方式：可立即對外提供參考

一年後可對外提供參考

兩年後可對外提供參考

〈必要時，本會得延展發表時限〉

中華民國 90 年 12 月 31 日

## 壹、前言

本案自 87 年 7 月 1 日開始執行，即以 X 頻段微波射頻電路模組為研究目標。於八十九年度完成 X-Band 天線總成之研製及量測，符合需求規格；另有關微波射頻電路模組部份，亦完成系統電路架構之驗證及電路次總成之設計與其整合模擬。

由於實用之感測器須將“天線總成”與“微波射頻電路模組”緊密且有效的結合，才可獲致最適化(Optimum Design)的性能，此則有賴進一步的“縮裝技術”與有效的“能量轉換結構”(transition structure)才可達成！此項技術是本年度研發的關鍵要項。

在九十年上半年度完成縮小化X-Band天線總成之模擬、設計，符合需求規格；另有關縮小化X-Band”天線總成“與“微波射頻電路模組”緊密且有效結合之“縮裝能量轉換結構”(transition structure)亦完成評估，一併納入天線總成設計中！

後續在九十年下半年度完成有關縮小化 X-Band 天線總成(含縮裝能量轉換結構)、微波射頻前端電路模組之試製、量測及其整合驗證評估。

## 貳、本文

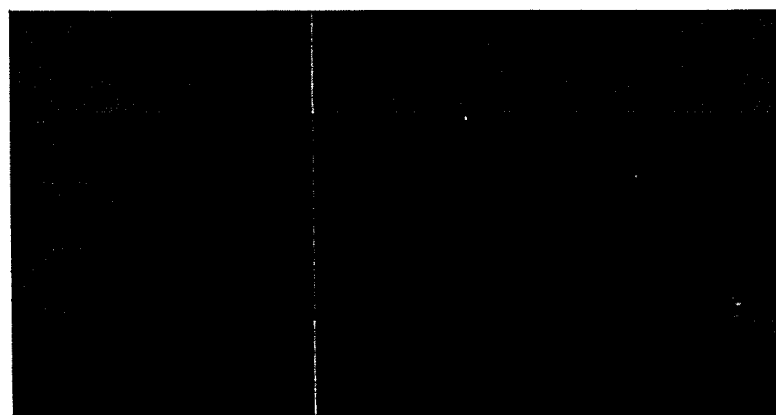
### 一、需求規格及電路架構說明：

#### (一) 有關 X - Band 天線的需求規格及選擇部份：

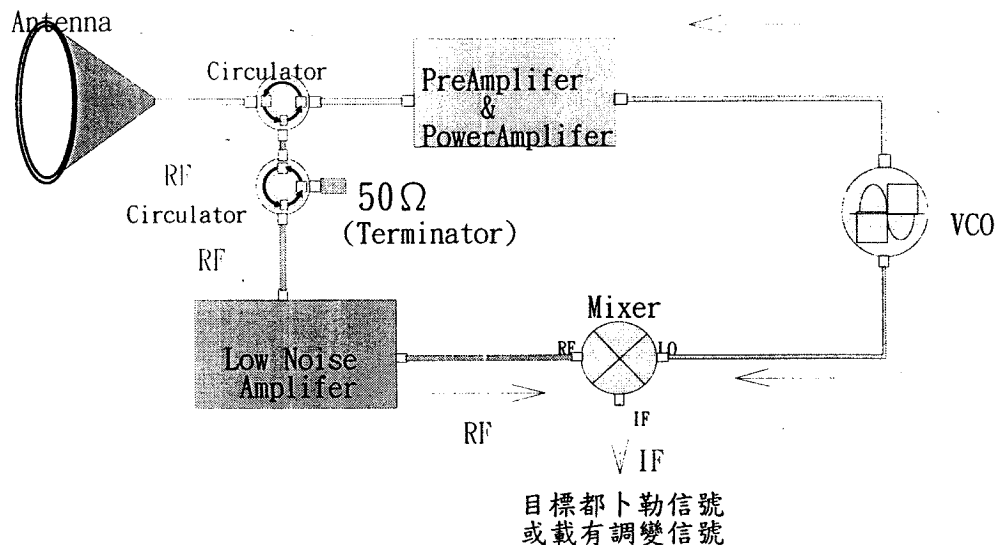
1. 操作頻率落於 X 頻段內： $8 \text{ GHz} \sim 12 \text{ GHz}$ 。
2. 天線設計在 3 公分直徑以內。
3. 輻射主波束調整在  $30^\circ \sim 70^\circ$  之間。
4. 莊晴光教授建議採用短洩漏模天線的設計方式來改善。相關參考文獻如下：

1.: J.-M. Lin, C.-K.C. Tzuang, G.-J.Chou and S. Su: 'Short leaky-wave antennas of sum and difference patterns'. IEE Electronics Letters., 4th July 1996 Vol.32 No.14 pp.1247-1249

5. 相關天線總成係由功率分配器， $180^\circ$  相位偏移器，阻抗匹配器及短洩漏模天線幅射本體所構成。相關電路都可藉由平面式微帶(Micro-strip)結構來設計、完成，達於輕、薄、短、小的目標，如下圖示。



## (二) 有關系統電路架構示意圖部份：



本系統係採用都卜勒雷達的測試架構，為精簡化的目的，先期設計僅選用振盪器(OSC)、3-dB 岔路器(Hybrid)、混波器(Mixer)及縮小型天線等。圖中 PA(Power Amplifier & Preamplifier) and LNA(Low Noise Amplifier)為降低成本，暫不予採用，並以 3-dB Hybrid 取代昂貴的迴旋器(Circulator)。

相關工作原理概述如下：由 OSC 振盪器輸出頻率 LO 微波信號，經 3-dB Hybrid 至縮小型天線，以特定的指向角幅射出去，當遭遇移動目標物時，其反射電磁波的頻率將產生都卜勒頻移(Doppler Shift :  $f_d$ )變成 RF( $=LO + f_d$ )，相關能量由縮小型天線截收後，送至 Mixer 混波器

而解調出 IF ( $f_d$ )信號。

## 二、天線總成、能量轉換結構與電路模組(微帶線)之整合規劃與設計

- (一) 規劃多層結構(Multi-Layer)：至少兩種PCB板、三層線路圖案，須含括具有幅射功能的天線總成、以微帶線為設計基礎的各電路功能模組(OSC、Mixer、3dB-Hybrid)及共同參考地等。
- (二) 規劃能量轉換結構(Transition Structure)：可緊密且有效轉移“天線總成”及“微波電路模組微帶線”間能量的結構。
- (三) 設計三層線路板--頂層“天線總成線路”、底層“電路模組微帶線路”與中間層“共同參考地”，可作緊密的組合，達到面積及體積皆縮小化的目的。
- (四) 設計“能量轉換結構”(Transition Structure)--穿孔路由(Via-Hole)，不僅要考慮阻抗特性，亦須考慮幅射特性，須整體考量，才可獲致最理想的結果。

### 三、工作要項及執行成果

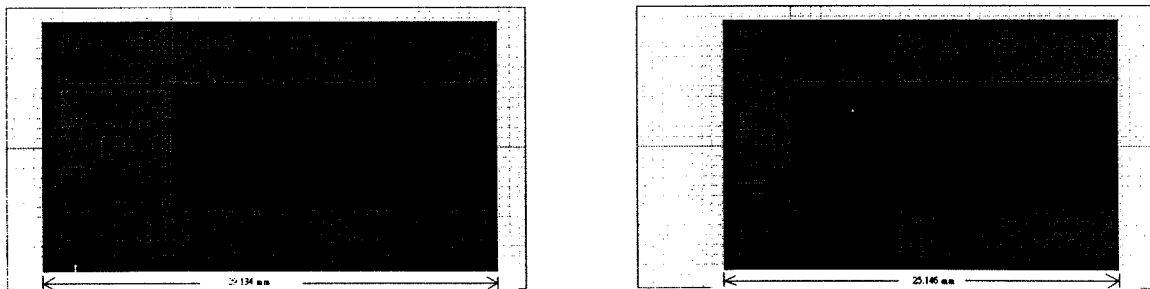
- (一) 天線總成縮小化的評估、設計。
- (二) 縮小化能量轉換結構的評估、設計。
- (三) 縮小化天線總成、能量轉換結構與微波射頻電路模組  
微帶線( $75\Omega$ )之整合性、最適化設計(optimum design)。
- (四) 縮小化X-Band天線總成、縮裝能量轉換結構及電路模  
組微帶線整合之多層板的試製、量測驗證。
- (五) 微波射頻電路模組之試製及其靜態模擬量測驗證。
- (六) 縮小化X-Band天線總成(含縮裝能量轉換結構)與微波  
射頻前端電路模組整合之靜態模擬量測驗證評估。

計分以下六大部份，內容說明如後。

#### (一) 天線總成縮小化的評估、設計

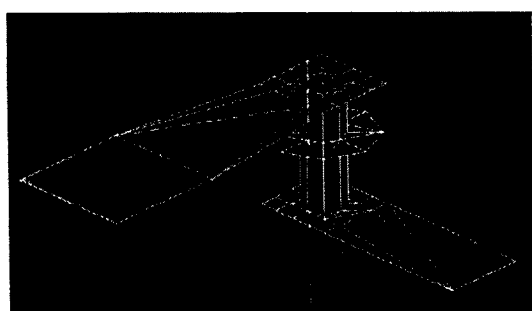
1. 為確保天線導波模的正常運作，降低天線幅射圖案的變異性，相關天線幅射本體(Radiator)之尺寸規格保持不變( $W=8mm$ ， $L=20.8mm$ ，...)。
2. 為達成更進一步的縮小化，擬採用慢波(Slow-Wave)結構，如城堡型傳輸線(Meander Line)，來設計取代原  $180^\circ$  相位移器(Phase-Shifter)及阻抗匹配器(Impedance Matching Network)。
3. 天線總成縮小化執行成果部份：在需求規格要求

下，經過多次嘗試修改設計，獲致以下更縮小精簡化的天線結構(如下圖右示)，寬度不變下，長度至少縮短13.7%。



## (二) 縮小化能量轉換結構的評估、設計

1. 為利於後續與其它電路模組縮裝整合，乃先行設計縮小精簡化能量轉換結構(Compact Transition Structure)  
-- not co-linear and difference reference impedance (50 ohm to 75 ohm) Via-Hole Transition Structure。
2. 縮小化能量轉換結構執行成果部份：經評估、設計結果，如下圖示，需求面積僅 $3\text{mm} \times 3\text{mm}$ ，在選定的操作頻率(10.6 GHz)，且考量傳導、介質、輻射及轉換損耗條件下獲致 $|S_{11}| = -8.85 \text{ dB}$ ， $|S_{21}| = -0.92 \text{ dB}$  and  $RPA = (1 - |S_{11}|^2 - |S_{21}|^2) * 100\% = 6\%$  (included 2% conductor -dielectric loss)。 (RPA : relative power absorbed)



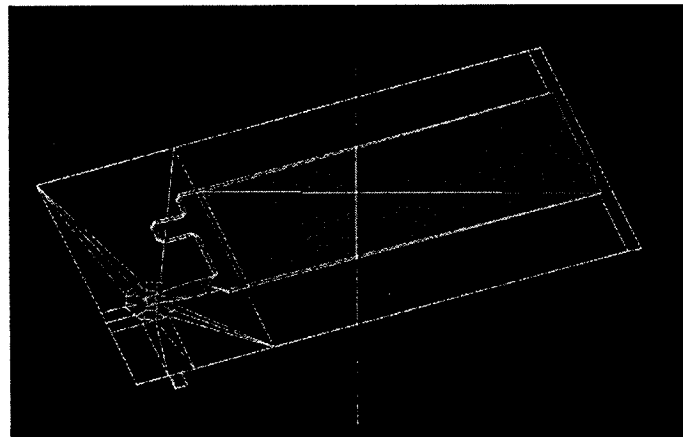
### (三) 天線總成、能量轉換結構與電路模組微帶線之整合性、最適化設計

1. 設計三層線路板——頂層“天線總成線路”、底層“電路模組微帶線路”與中間層“共同參考地”，可作緊密的組合。
2. 然頂層“天線總成線路”與底層“電路模組微帶線路”間，能量有效傳遞之關鍵在“能量轉換結構”(Transition Structure)之設計，在此不僅要考慮阻抗特性，亦須考慮幅射特性，須整體考量，才可獲致最理想的結果。
3. 整合性、最適化設計部份：亦即將上述之縮小化天線總成、能量轉換結構與微波射頻電路模組微帶線結合在一起，作整體的考量、設計，不僅要考慮阻抗特性( $|S_{11}|$ & Frequency)，亦須考慮幅射特性(Radiation pattern & Frequency)，皆需滿足規格需求，以獲致最理想的結果。
4. 結合設計時發生的現象：同時滿足兩者需求之頻寬過窄( $f_0=10.6\text{GHz}$ ,  $\text{BW} \sim 150\text{MHz}$ )，特別是頻寬外的操作頻率，易發生多重波柱(Multi-Beam)且較大的傾斜背向波柱(Tilted Back-lobe)。
5. 經以電磁場論三維(3D)積分方程，來求解並觀察各層電流分佈情形，
  - (1) 觀察後判斷可能原因為：參考接地平面層感應電流大且複雜，主要分佈於天線幅射體開路端(Open End)下及穿孔路由(Via-Hole)的週圍！
  - (2) 採取的對策如下：原切齊之“天線幅射體開路端”與“參考接地平面層右邊緣”，錯開距離0.762mm；此外

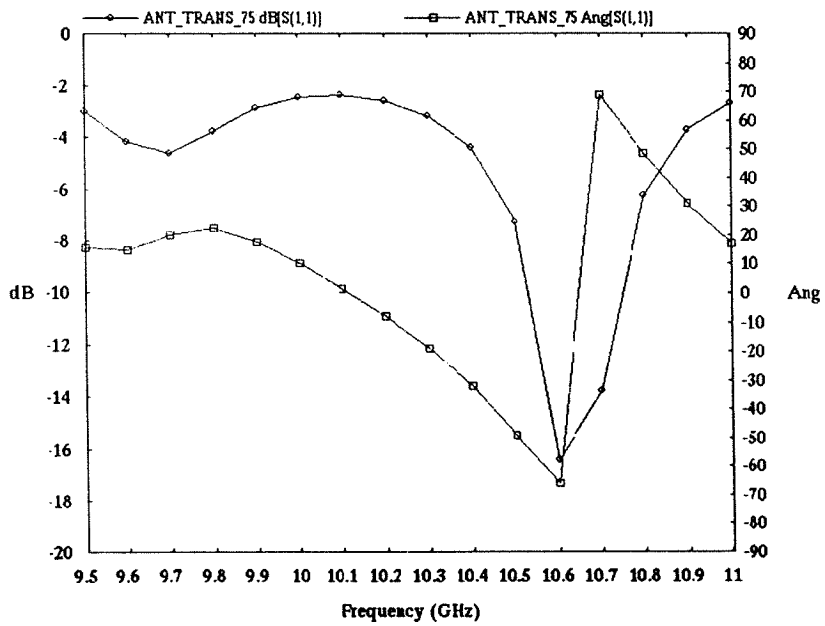
於“穿孔路由”週圍設計電氣隔離牆(Electrical Shielding Wall)，以降低電磁耦合干擾，純化電磁能量轉換的模式！

## 6. 整合性、最適化設計執行成果部份：

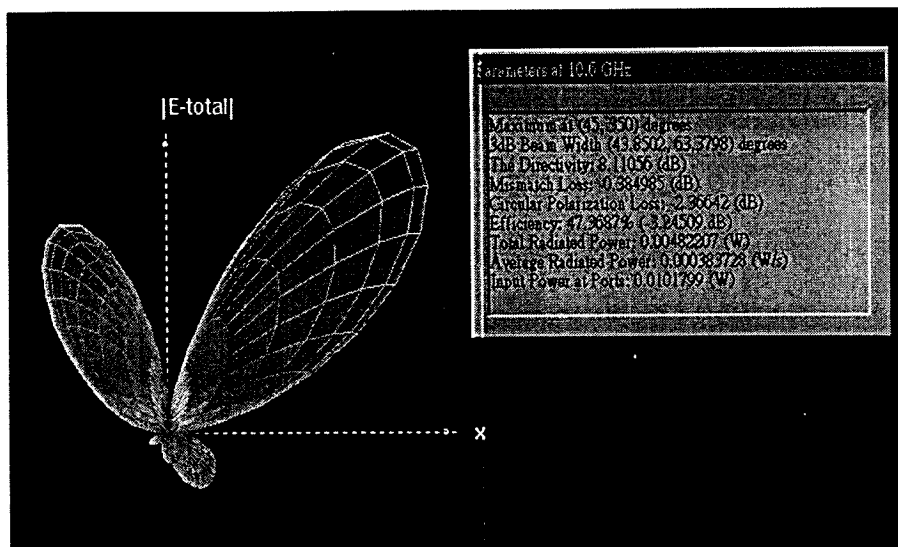
(1) 相關設計結構如下圖所示，需求面積僅  $29.72\text{mm} \times 16\text{mm}$ 。



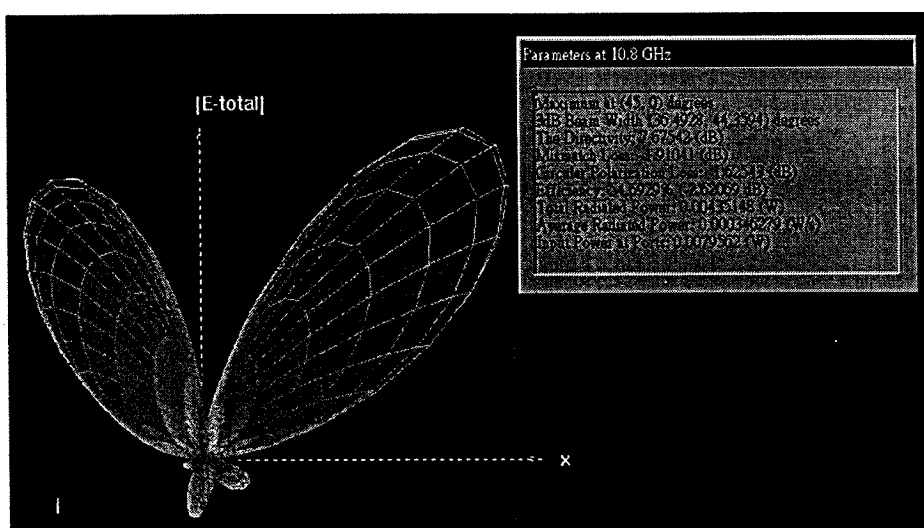
(2) 相關電路輸入阻抗特性：輸入端的反射損耗 $|S_{11}|(\text{dB})$ 及相位 $\angle S_{11}(\text{Deg.})$ ，如下圖示



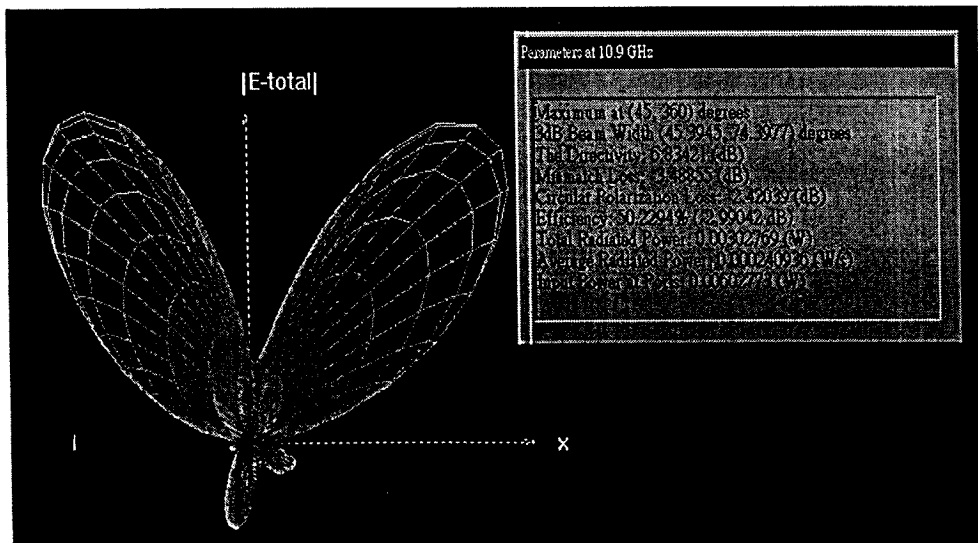
(3) 相關電路的幅射特性 at  $f_o=10.6\text{GHz}$ ：如下圖示，



● 幅射特性 at  $f_o=10.8\text{GHz}$ ：如下圖示，



● 幅射特性 at  $f_o=10.9\text{GHz}$ ：如下圖示，

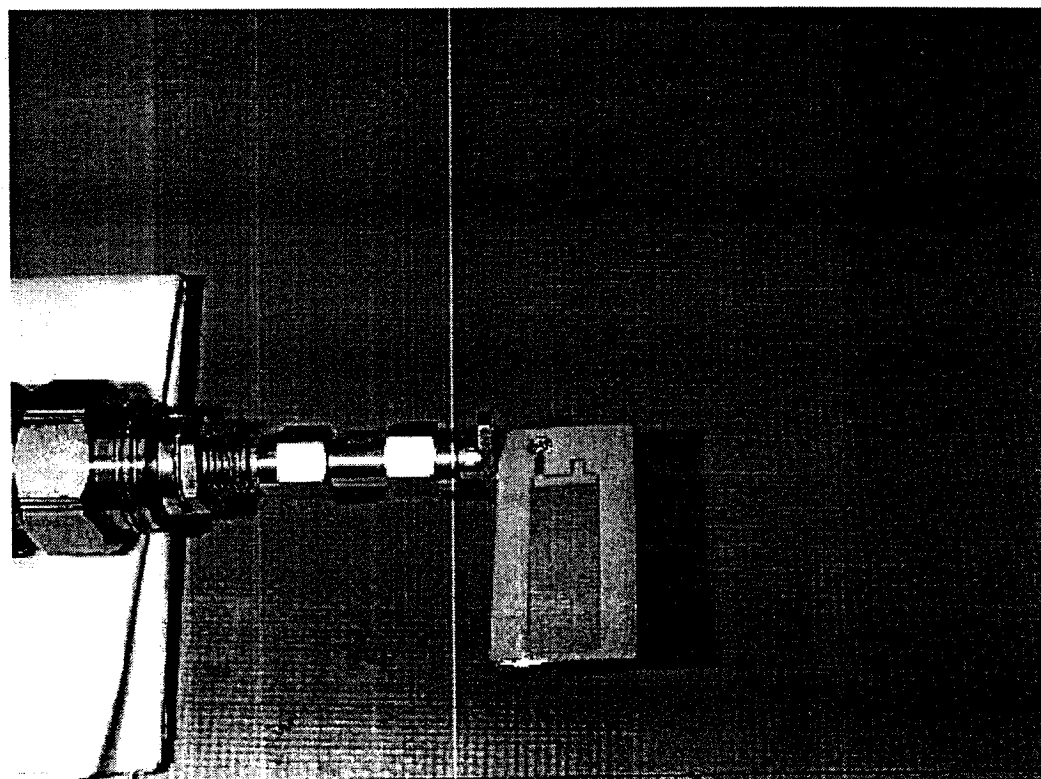


## 7. 模擬結果：

- (1) 由整合性、最適化設計結構之輸入阻抗特性及幅射特性分析結果得知，相關的對策確實降低了電磁耦合干擾及傾斜背向波柱(Tilted Back-lobe)功率位準。
- (2) 由分析結果得知，在滿足各項需求規格條件下，具有至少 300MHz 頻寬 (at  $f_o=10.6\text{GHz} \sim 10.9\text{GHz}$  ,  $|S_{11}| < -4\text{dB}$ ，主波柱傾斜角= $45^\circ$ )。

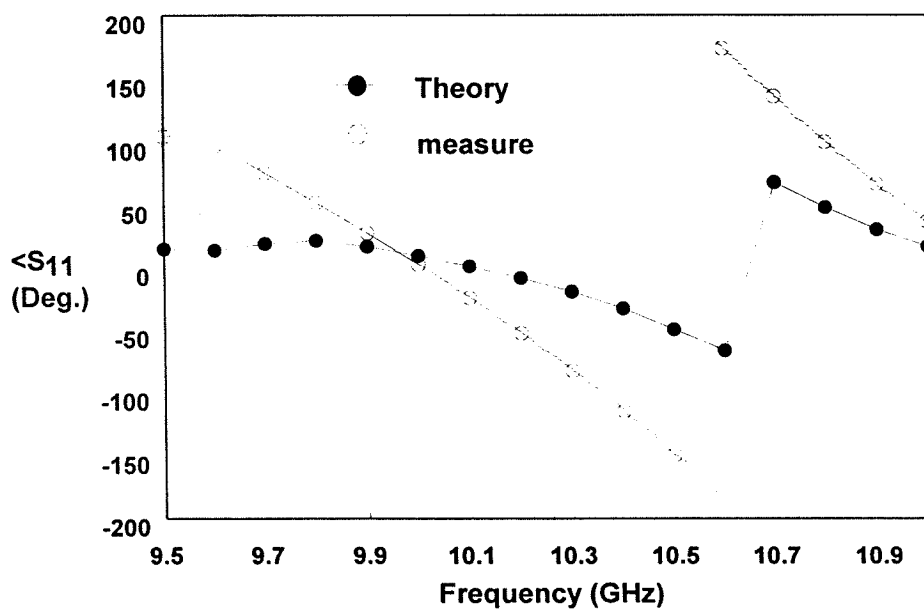
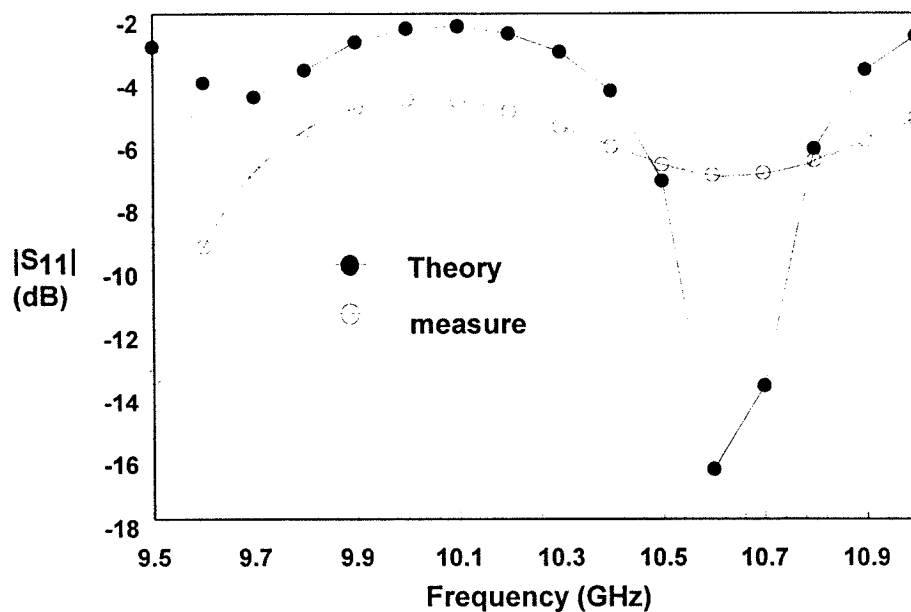
(四) 縮小化X-Band天線總成、縮裝能量轉換結構及電路  
模組微帶線整合之多層板的試製、量測驗證

- 為了量測的目的，微波射頻前端模組之微帶饋入線特性阻抗設計成 $50\text{ohm}$ 。另電氣遮蔽牆(Electrical Shielding Walls)改以穿孔短路銀線焊接取代，製作完成之實體，如下圖所示。

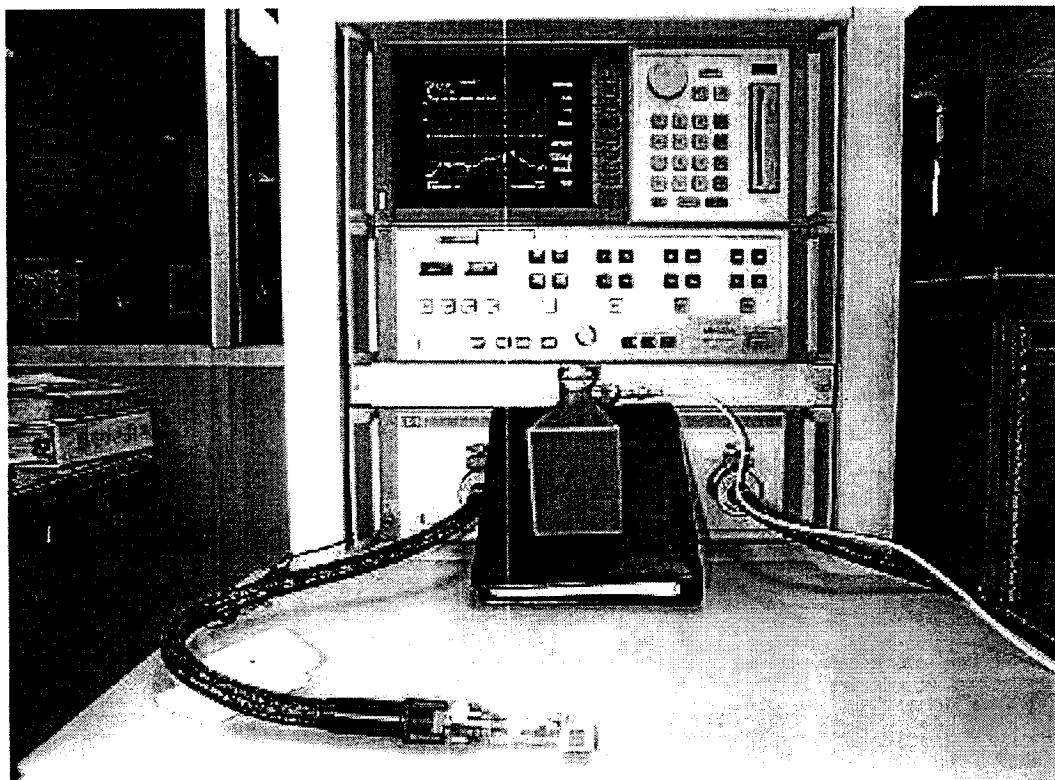


- 網路S參數量測部份，係採用HP8510C網路分析儀及 $3.5\text{mm}$  SMA  $S_{11}$  one-port單埠校準的方式。

3. S參數量測結果：有關網路S參數(振幅 $|S_{11}|$  (dB)及相位 $\angle S_{11}$ (Deg.))量測結果與理論模擬分析比較如下二圖所示，結果顯示趨勢吻合。

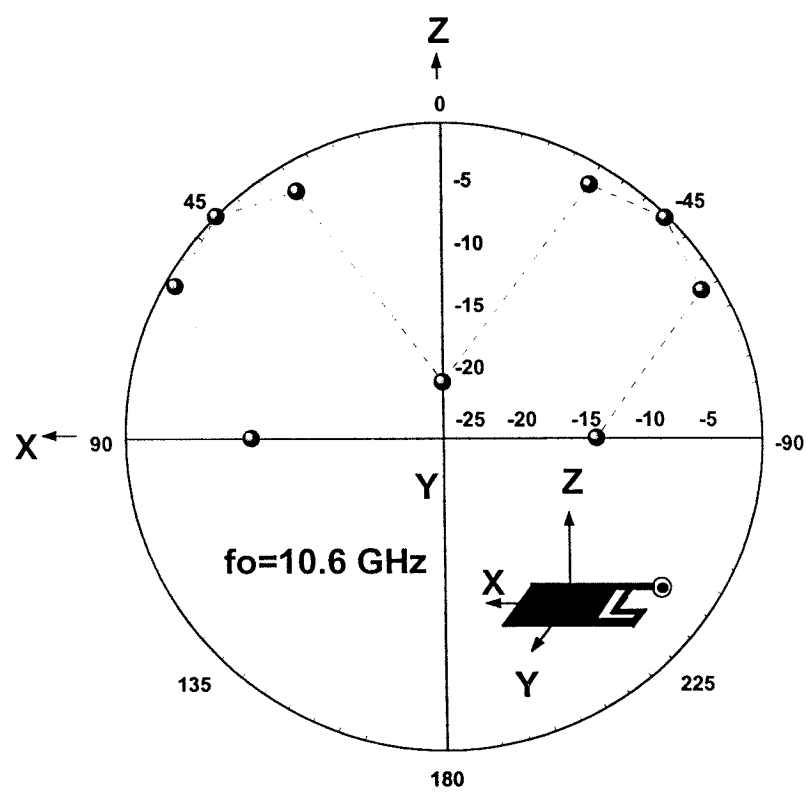
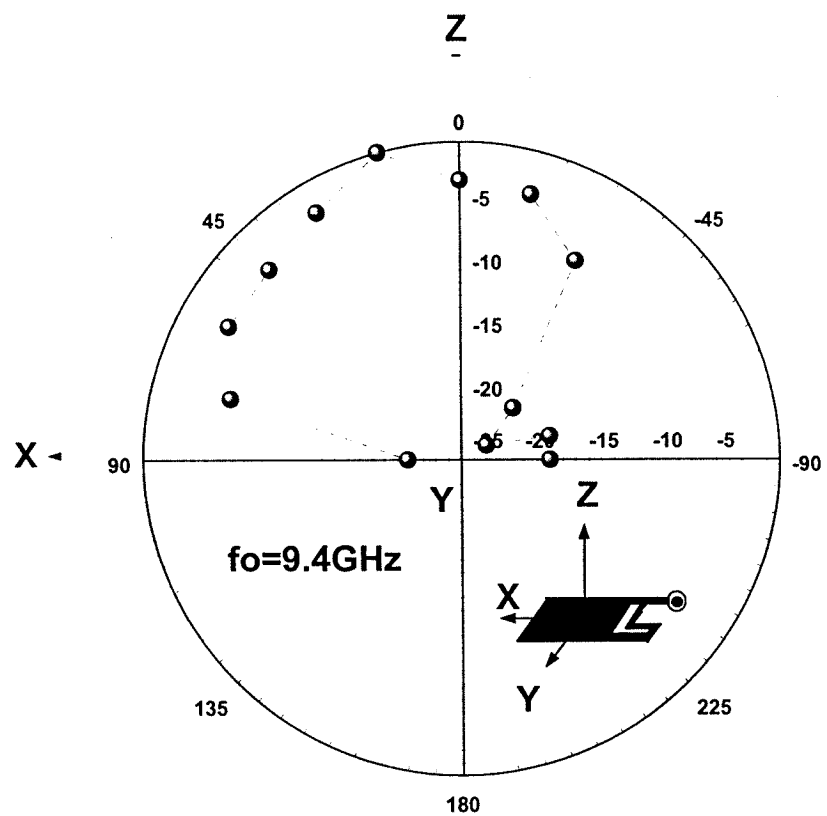


4. 有關天線幅射特性量測部份，相關幅射主波柱指向角及幅射圖案的初估量測架構圖，如下圖所示。



此測試架構係利用無線通信電磁波傳播的原理，並利用HP8510C網路分析儀充當微波收發機，配合量測 $S_{21}$ 性能，就可發展來作為待測X-band縮小型天線(DUT)場型初估量測的運用。

5. 相關天線總成幅射圖案初估量測的結果，如下圖所示。



## 6. 量測結果：

- (1) 由此縮小化X頻天線總成結構之輸入阻抗特性及幅射特性量測結果得知，在滿足各項需求規格條件下，具有至少 300MHz 頻寬(at  $f_o = 10.6\text{GHz} \sim 10.9\text{GHz}$ ， $|S_{11}| < -6\text{dB}$ ，主波柱傾斜角~ $45^\circ$ )。
- (2) 另操作頻率在 $f_o = 9.4\text{ GHz}$  附近，亦可獲致 $|S_{11}| \sim -16\text{ dB}$ ，且主波柱傾斜角 ~  $15^\circ$  的阻抗及幅射特性，應可作為其它類型電子引信的應用。
- (3) 有關天線幅射特性量測部份，若能配合固定夾持對正(Alignment)及精密地轉動測試治具，應可進一步改善量測品質。

## (五)微波射頻電路模組之試製及量測驗證部份

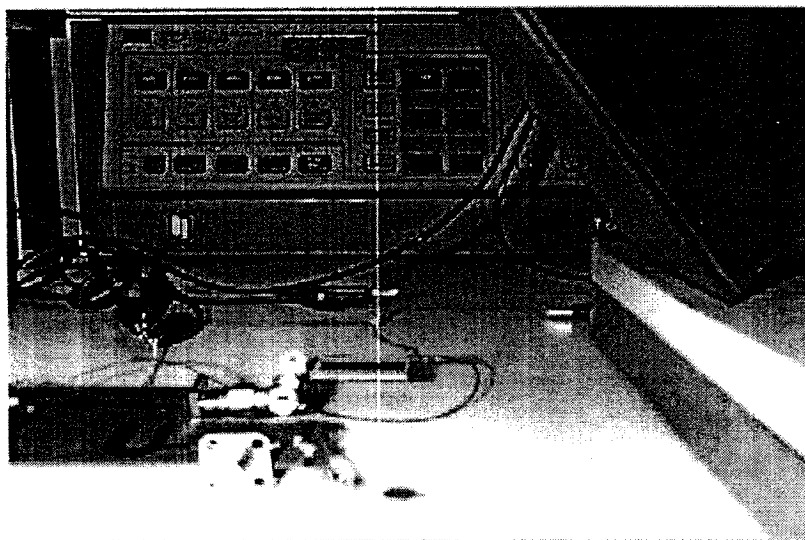
1. 天線總成部份，須先以模擬物件取代之，其功能須具有時間延遲、能量衰減及描述都卜勒頻移(Doppler frequency-shift)的效果。
2. 執行總成測試前，請先確定各次總成電路模組功能正常，如：天線總成模擬物件、3-dB 枝幹耦合器(Branch Coupler)、混波器(Mixer)及振盪器(OSC) / 壓控振盪器(VCO)等，再逐一整合測試，以利發現及區隔問題。
3. 現階段已完成天線總成模擬物件、3-dB 枝幹耦合器(Branch Coupler)、混波器(Mixer)及振盪器(OSC)總成電路模組之試製件兩片，量測驗證結果如下：
  - (1) 次總成模組部份：振盪器(OSC) 可以振盪輸出，但振盪頻率與設計需求相差甚大，且具有近5~10MHz的漂移量，原設計需求10.6 GHz~10.9 GHz，量測結果卻下降至9.0~9.1 GHz；
  - (2) 另混波器(Mixer)最佳操作頻率亦有很大的偏移，其它模組則功能正常；總成電路模組部份，先隔離(切去)振盪器(OSC)電路部份，改以綜頻信號產生器取代之，以執行總成模組功能測試(Tx：載波Lo-->都卜勒頻移調變RF=Lo+fd-->Rx：RF-->混波解調-->都卜勒頻移信號fd)結果正常；

#### 4. 微波射頻電路模組靜態模擬量測結果之檢討

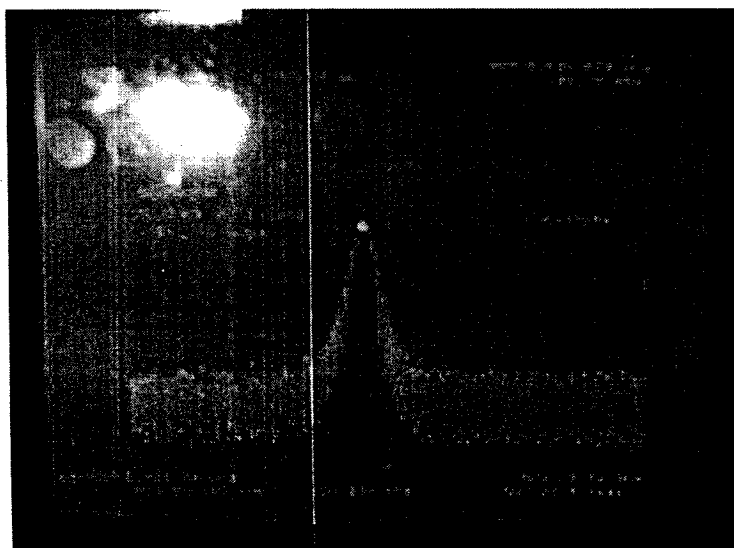
- (1) 振盪器(OSC) 振盪頻率與設計需求相差甚大，且具有近5~10MHz的漂移量及混波器(Mixer)最佳操作頻率亦產生很大偏移的原因，分析如下：
- 振盪或操作頻率偏差甚大部份：除了製作尺寸、加工誤差外，最主要應為代用之微波晶體(NE32584)與原設計模擬之元件(NE42484)等效模型差異較大所致。
  - 另振盪漂移較大部份：最主要則應係受系統相位雜訊干擾所致。
  - 相關結果，亦將影響後續微波射頻電路模組與縮小化X-band天線總成整合靜態模擬量測的結果。

(六) 縮小化X-Band天線總成(含縮裝能量轉換結構)與  
微波射頻前端電路模組整合之靜態模擬量測驗證  
評估

1. 靜態量測架構部份：下圖將顯示天線總成與微波射  
頻前端電路模組整合之振盪頻率及天線幅射的一  
種靜態量測架構。



2. 量測結果部份：由 HP8566B 頻譜分析儀量測結果，  
如下圖，顯示其振盪的頻率，約在9.01~9.11GHz範圍內。



### 3. 整合靜態模擬量測結果之檢討及未來努力方向

- (1) 在各模組(OSC, Mixer)與天線總成間操作頻率相差甚大的現況下，再加上振盪頻率不夠穩(最少有5~10 MHz的漂移量)、有著較大的相位雜訊(約-105 dBc/Hz)且模組整體輸出功率過低(天線輸入端僅約-27dBm)，造成後續模擬量測回波射頻(RF=LO+IF)功率及本地(LO)饋入功率皆過低，無法滿足射頻前端電路混波器解調驅動所需的功率值，是造成整合失效的主要原因。
- (2) 對微波射頻混波器(Mixer)單一模組的設計及性能規格量測分析，相關的作業及經驗仍嫌不足，導致在模擬系統分析失效時，對問題點無法有效掌握及確認。
- (3) 另穩定的微波射頻振盪源(OSC)之研究，亦是我們必須去面對的，相關的課題包括穩定的直流(DC)電壓源、高品質因子(Quality Factor)的諧振器及金屬封裝設計等。
- (4) 依此次整合模擬量測的經驗，原微波射頻電路模組的電路架構應重新檢討修訂，如 OSC之輸出端應植入功率放大器(PA)、帶通濾波器(BPF)的設計，另解調 Mixer輸出端亦應加入低通濾波器(LPF)，以抑制諧波及雜波效應。
- (5) 此外，有關現行微波射頻電路模組之需求總面積 =80mm \*50mm：其中 OSC(=44mm\*40mm)、3-dB Branch Coupler (=14mm\*15mm)、Mixer (= 40mm \* 23mm)，未來仍須執行縮小化設計，可嘗試最新型縮裝電路設計，並配合MIC製程及先進的包裝技術或更

新的電路設計架構，應能達於量產實用規格要求，同時在量大時，達於降低生產成本的目標。

(6)未來為達成產品實用規格及降低生產成本的目標，縮小化設計、製造及量測技術之研究，亦是我們未來需努力的方向。

## 參、結論

- 一、振盪器(OSC)、混波器(Mixer)之振盪、操作頻率偏差  
甚大部份：除了製作尺寸、加工誤差外，最主要應為代用之微波晶體等效模型參數誤差較大所致，因而針對微波晶體S參數量測及大信號模型等效參數萃取的技術，是我們必須要努力學習的。
- 二、有關振盪器(OSC)頻率漂移現象，對此應用架構的調變、解調作業，應不致產生太大影響，惟輸出功率過低，致混波器(Mixer)無法驅動、正常工作，是整合功能測試失效的主要原因之一，可考量植入功率放大器於OSC輸出端，如此可提高輸出功率、提高隔離度、降低OSC的負載效應，穩定振盪頻率。
- 三、此外模組性能之硬體調整(tuning)技術、OSC之封裝設計及未來產品應用的縮小化設計，亦是我們必須要面對及處理的。
- 四、針對未來都卜勒產品的應用，諸如倒車、防撞雷達等，若能整合後級信號處理段的積體化(ASIC)，應有不錯的發展空間。
- 五、有關縮小型X頻電路設計、製造及量測技術，仍應持續累積、精進，並以『產品』為導向去開發、研究及應用。